

## ЕДНА ВЪЗМОЖНОСТ ЗА КОНТРОЛ И ИЗМЕРВАНЕ ТЕМПЕРАТУРАТА НА ЕЛЕМЕНТИ ПОД ВИСОКО НАПРЕЖЕНИЕ С ПРИЛОЖЕНИЕ НА ВЛАКНЕСТО-ОПТИЧНА СИСТЕМА

доц.кнн.инж.Стеван Т. Барудов

проф.дтн.инж.Димитър Ив. Димитров

Приложението на влакнесто-оптичните системи за контрол и измерване на неелектрични величини, включително и температура е подходящо с цел намаляване влиянието от външни електромагнитни въздействия при галванично разделяне на мястото, в което се извършва измерването и мястото, в което се регистрира измерваната величина [1, 2]. Такива са случаите за работа на съоръженията при високо напрежение.

Целта на изследването е да се предложи схемно изпълнение, което позволява, поради намалена консумация, захранването на част от измерителната схема предавателната част на измерителната система, намираща се под висок потенциал) да се извършва от автономен източник, като се постига линейност между измерваната температура и изходната величина.

Структурната схема на измерителната система е предложена на фигура 1. Участващите блокове са: 1 - температурен датчик, 2 - преобразувател температура - ток, 3 - преобразувател ток - честота, 4 - лазерен диод, 5 - световод, 6 - фотоприемник, 7 - формировател на импулси, 8 - индикатор на температурата. Блокове 1, 2, 3 и 4 формират предавателя в измерителната система, намиращ се под висок потенциал, а блокове 6,7 и 8 - приемник, разположен от страна на ниско напрежение.

Температурният датчик може да бъде изпълнен от терморезистор и (медни или платинови) полупроводникови терморезистори; полупроводникови диоди и транзистори с температурна зависимост на отделни величини, например обратните токове на  $\rho-n$  прехода, напрежението на диода, напрежението на емитерния  $\rho-n$  преход в права посока и коефициента на усилване по ток на транзисторите. Линейната зависимост на напрежението на емитерния преход от температурата, когато през прехода протича постоянен ток, при това при достатъчна чувствителност (2,2 до  $2,7 \text{mV}/^{\circ}\text{C}$ ) дават основание полупроводниковите преходи в тези случаи да бъдат използвани като температурни датчици.

Примерното изпълнение на предавателя е представено на фиг.2. Неговото функционално действие е в съответствие с поставената цел.

VT<sub>1</sub> е в режим на генератор на ток, определен от R<sub>1</sub>, R<sub>2</sub> и VD<sub>1</sub>. Сигналът на термодатчика се усилва от OY<sub>1</sub>, като големината на напрежението U<sub>1</sub> в изхода му се определя от R<sub>5</sub> и R<sub>6</sub>, съответно за най-ниската и най-високата измервана температура. Чрез VT<sub>2</sub> се постига съгласуване на мощността, изисквана от следващите стъпала. VT<sub>3</sub> е в режим на източник на ток като преобразува температурно зависимото напрежение U<sub>1</sub> в ток, с който линейно се зарежда кондензатор C<sub>1</sub>. Напрежението му U<sub>C1</sub> се подава на входа на компаратор OY<sub>2</sub>. При достигането му до определена големина през ключов елемент VT<sub>6</sub> се задейства чакащ мултивибратор. Последният е изпълнен с таймер 555. Той определя времето за включено състояние на лазерния диод VD<sub>2</sub> и чрез ключовия транзистор VT<sub>4</sub> разрежда кондензатор C<sub>1</sub>. По този начин честотата на следване на светлинните импулси с постоянна продължителност е пропорционална на температурата. Тази пропорционалност може да се представи, като се има предвид, че напрежението U<sub>BE</sub> линейно намалява с нарастване на температурата, т.е.:

$$U_{BE} = A_1 - A_2 T \quad (1)$$

За конкретен тип транзистор, в случая 2T 3167, константите A<sub>1</sub> и A<sub>2</sub> са: A<sub>1</sub> = 250 mV, A<sub>2</sub> = 2,66 mV/°C.

Напрежението U<sub>1</sub> се представя:

$$U_1 = K_1 (U_{R_3} - U_{BE} \cdot U_{R_2}) = K_1 (A_1^* + A_2 T) \quad (2)$$

K<sub>1</sub> е коефициент на усилване на OY<sub>1</sub>, A<sub>1</sub> е:

$$A_1^* = U_{R_3} - U_{R_2} - A_1$$

Честотата на следване на светлинните импулси е:

$$f = \frac{U_1 - U_{BE VT_2} - U_{BE VT_3}}{U_{C_1} \cdot C_1 \cdot R_8} \quad (3)$$

В ур.(3) напрежението U<sub>C1</sub> е постоянно. При изпълнено условие според ур.(4), ур.(3) придобива вида на ур.(5):

$$K_1 A_1^* - U_{BE VT_2} - U_{BE VT_3} = 0 \quad (4)$$

$$f = \frac{K_1 A_2 T}{U_{C_1} \cdot C_1 \cdot R_8} \quad (5)$$

Ур.(5) показва, че честотата е линейна функция на температурата. Следователно съществуват условия за компенсация при предложени

вариант на схемно решение.

Функционалното действие на предавателя е илюстрирано с времедиаграмите на фигура 3.a.

На фигура 4 за  $U_{C_1} = 6V$ ,  $C_1 = 33 \mu F$ ,  $R_B = 7,2 k\Omega$  са посочени  $f = f(\tau)$  и средното токово натоварване  $I_{VD_2} = f(\tau)$  през  $VD_2$ . С прекъсната линия са представени резултати от експеримент

На фигура 5 е представен вариант на оптичен приемник, чието действие е илюстрирано с времедиаграмите на фигура 3.b.

Приемникът е разработен с  $VT_1$ , работещ във фотодиоден режим като  $OY_1$  усилва получния сигнал.  $VT_2$  съгласува последния по мощност със следващите стъпала. Формирането на изходните импулси  $t_n$  е осъществено с чакащ мултивибратор, разработен с таймер 555. Продължителността на импулсите е определена от максималната честота на работа на преобразувателя. Напрежението на индикаторното устройство  $U_t$  може да се представи:

$$U_t = \kappa_2 \frac{t_n}{T} U_o = \kappa_2 t_n U_o f = \kappa_2 t_n U_o \frac{R_1 R_2 T}{U_{C_1} C_1 R_B} = \kappa_3 T \quad (6)$$

Ур.(6) показва линейност в зависимостта  $U_t(\tau)$ , което е предимство на схемата.

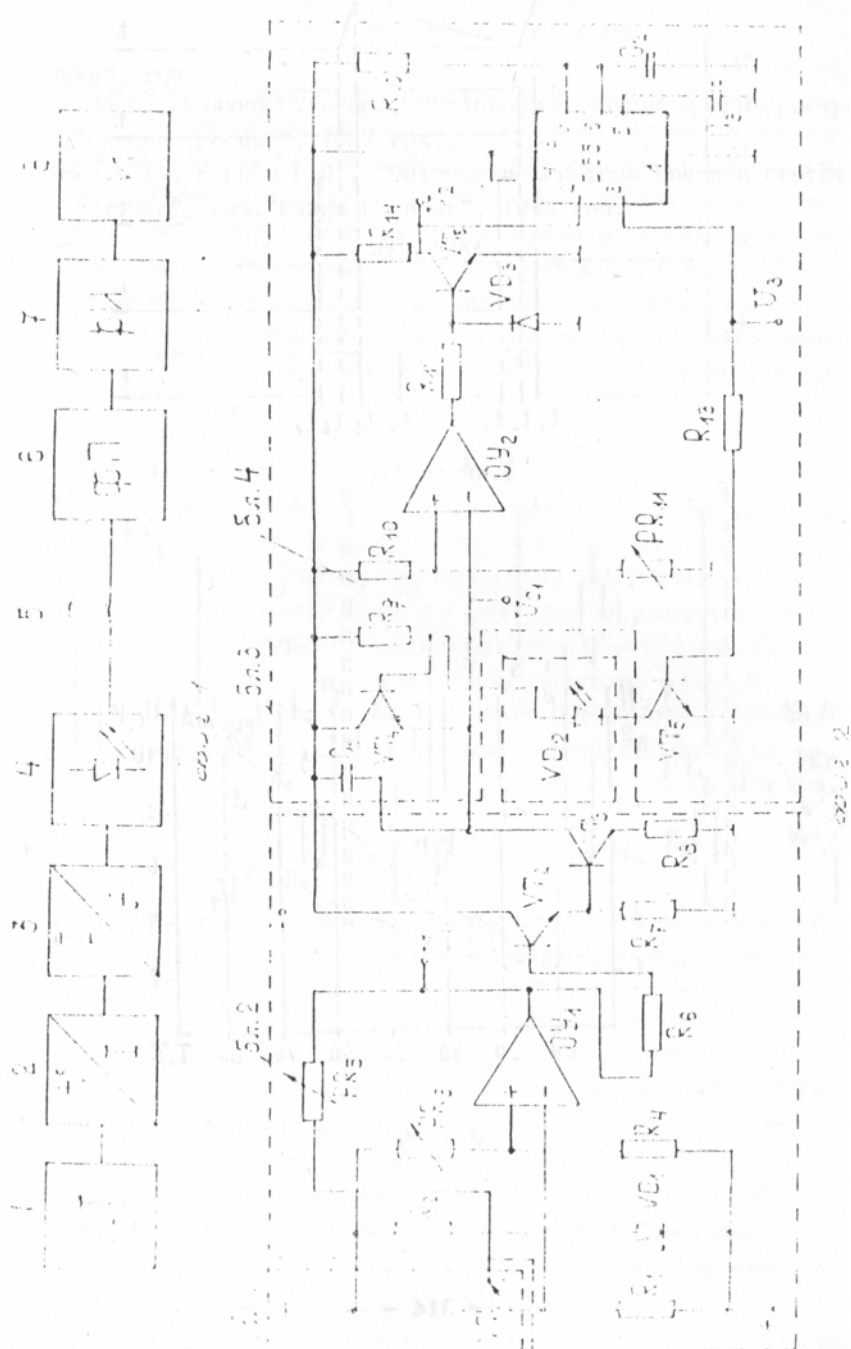
На фигура 4 е посочено  $U_t(\tau)$  за  $U_o = 9V$ , която зависимост е получена от експеримент.

За намаляване инерционността на схемата е препоръчително  $VT_1$  от фигура 2 да бъде безкорпусен.

Предложеният вариант е експериментиран в условия за измерване температура на елементите при напрежение 20kV.

От проведените изследвания могат да бъдат направени следните изводи:

- предложената е схема на влакнесто-оптична система за контрол и измерване температурата на елементи под високо напрежение, имаща:
- понижена консумация в предавателната част, което определя възможности за работа при захранване от автономен източник и монтаж в съоръжения високо напрежение;
- линейна зависимост на изходното напрежение от измерваната температура с възможност за компенсиране на грешката при преобразуване;
- отстранени са нелинейностите и температурната зависимост на параметрите на оптичните елементи.



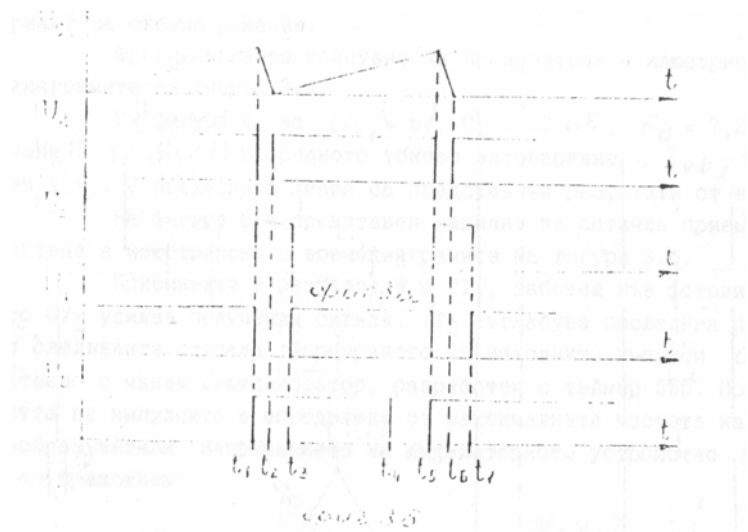
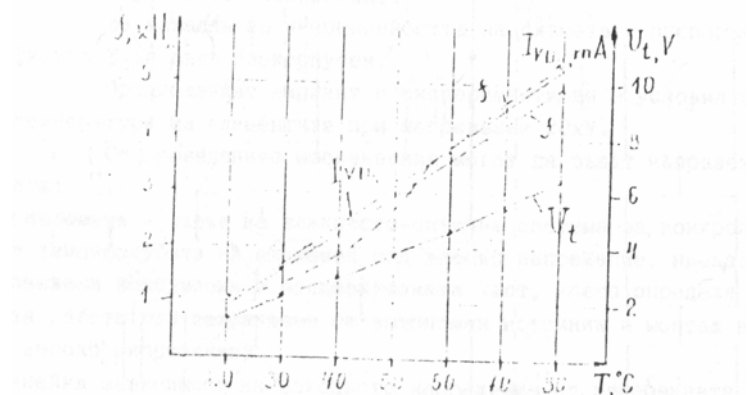


Fig. 1. Diagram illustrating the relationship between current  $I$ , voltage  $U$ , and time  $t$  during the operation of a vacuum tube.

The current  $I$  and voltage  $U$  are plotted against time  $t$  during the operation of the vacuum tube.

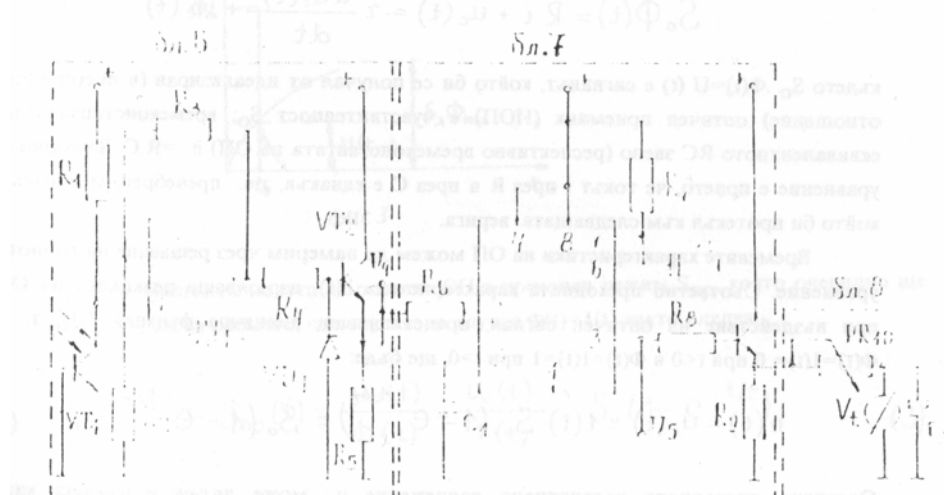


The graph shows the variation of current  $I$  and voltage  $U$  with respect to temperature  $T$  for a vacuum tube. The current  $I$  and voltage  $U$  increase with temperature  $T$ .

## Литература:

- Бутусов И., Галин С. и др., "Радиокоммутация и приборостроение", изд. "Связьстройиздат", 1987 год.
  - Красюк В.А., Корней Г.И., "Оптические системы связи и спектротехнические измерения", изд. "Радио и связь", 1988 год.
- Фиг. 1. Упрощенная схема оптической системы связи в (1)Ф-канале отображающим методом

Фиг. 2. Упрощенная схема канала в (2)Ф-канале отображающим методом



Фиг. 3. Упрощенная схема канала в (3)Ф-канале отображающим методом

Фиг. 4. Упрощенная схема канала в (4)Ф-канале отображающим методом

Фиг. 5. Упрощенная схема канала в (5)Ф-канале отображающим методом